

AAC 디코더의 IMDCT를 위한 고속 IFFT 알고리즘

A Fast IFFT Algorithm for IMDCT of AAC Decoder

지 화 준*, 김 태 훈*, 박 주 성*

(Hua-jun Chi*, Tae-hoon Kim*, Ju-sung Park*)

*부산대학교 전자전기통신공학부

(접수일자: 2007년 5월 22일, 수정일자: 2007년 7월 6일, 채택일자: 2007년 7월 23일)

본 논문은 MPEG-2 AAC (Advanced Audio Coding) 디코더에 필요한 IMDCT (Inverse Modified Discrete Cosine Transform)를 고속으로 처리하기 위한 새로운 IFFT (Inverse Fast Fourier Transform) 구현 방식을 제안한다. 기존 방식 중에서 2^n (N-point) type IMDCT가 성능이 가장 우수하지만 많은 계산을 요구하는 N/4-point complex IFFT 과정을 포함하고 있다. 본 연구는 2^n (N-point) type IMDCT에 포함된 N/4-point complex IFFT의 연산량을 줄이는 방법을 고안하였다. N/4-point complex IFFT는 입력 데이터를 bit-reverse 방식을 사용하여 정렬하지만 본 연구에서는 새로운 입력 데이터 정렬방식과 $N/4^{n+1}$ 형태의 IFFT 고안하여 곱셈, 덧셈, ROM 용량을 줄였다.

핵심용어: IFFT, 비트 리버스, 디지털 오디오, IMDCT

투고분야: 전기 음향 분야 (3,2)

This paper proposes a new IFFT (Inverse Fast Fourier Transform) algorithm, which is proper for IMDCT (Inverse Modified Discrete Cosine Transform) of MPEG 2 AAC (Advanced Audio Coding) decoder. The 2^n (N-point) type IMDCT is the most powerful among many IMDCT algorithms, however it includes IFFT that requires many calculation cycles. The IFFT used in 2^n (N-point) type IMDCT employ the bit-reverse data arrangement of inputs and N/4-point complex IFFT to reduce the calculation cycles. We devised a new data arrangement method of IFFT input and $N/4^{n+1}$ -type IFFT and thus we can reduce multiplication cycles, addition cycles, and ROM size.

Key words: Fast IFFT, Bit-reverse, Digital audio, IMDCT

ASK subject classification: Electro-Acoustics (3,2)

I. 서론

MPEG-2 AAC은 "MPEG-2 Advance Audio Coding"의 약자로, backward compatibility를 없애고, 적은 비트율로 고음질의 사운드 데이터를 부호화 (encoding)와 복호화 (decoding)하는 ISO 13818-7 규격이다. [1] AAC는 MP3 (MPEG-1 layer 3)와 마찬가지로 인간의 귀 특성을 반영한 심리음향 모델을 이용하는 transform coding 방식이다. [2] MPEG-2 AAC 디코더의 입력신호는 주파수 영역의 신호이므로 시간영역의 신호로 변환하는 과정이 반드시 필요하다. 주파수 영역의 데이터를 시간영역의 데이터로 변환하기 위하여 IMDCT 기법이 많이 사용되고 있다. [3]

IMDCT를 구현하는 방식으로는 데이터 재정렬 방식, type-II DCT 방식, type-IV DCT 방식, 2^n (N-point) type IMDCT 등과 같은 방식이 있다. [4-6] 본 논문에서는 MPEG-2 AAC 디코더에 사용되는 IMDCT 구현을 위하여 다양한 방식을 분석하여 효율적인 구현방법을 고안하였다. 본 논문은 2장에서 AAC 디코더 알고리즘에 대해서 설명하고, 3장에서는 종래의 IMDCT 방식을 분석하고, 4장에서는 새로운 고속 IMDCT 방식을 소개한다. 5장에서는 기존 방식과 비교분석을 하였으며 마지막으로 6장에서 결론을 맺는다.

II. AAC 디코더 알고리즘

AAC는 main, low complexity (LC), scale-able sampling rate (SSR)와 같은 3종의 프로파일을 가진다. [1] 본 논문은 휴대오디오기에 많이 응용되는 LC 프로파일의 복호화를 위한 IMDCT에 관한 내용을 다룬다.

AAC LC의 디코더 과정을 그림 1에 나타내었다. MPEG-2 AAC 부호화기는 시간영역의 데이터를 심리음향 모델을 이용하여 여러 주파수 밴드 신호로 변환하여 압축한 후 허프만 부호화를 통하여 또 다시 압축을 한다.

AAC 디코더는 엔코더의 역과정을 수행해야 하므로 입력 비트열을 허프만 디코딩한 후 역양자화를 수행한다. 역양자화 된 샘플을 허프만 디코더 과정에서 얻은 스케일 팩터로 스케일링하고 시간영역 잡음 변형을 수행한 후 필터뱅크를 거쳐 시간영역의 신호로 변환된다.

MPEG-2 AAC 디코더의 마지막 과정인 필터뱅크는 주파수 영역신호를 시간영역의 신호로 변환시키는 과정인 IMDCT와 windowing & block switching, 중첩넛셈 과정으로 구성되며 최종적으로 이득을 조절함으로써 시간영역의 신호를 얻는다. AAC 디코더에서 허프만 디코더와 필터뱅크의 연산량이 전체의 80% 이상 차지하고 있고 IMDCT의 연산량은 전체 연산량의 28.4%을 차지한다. [7]

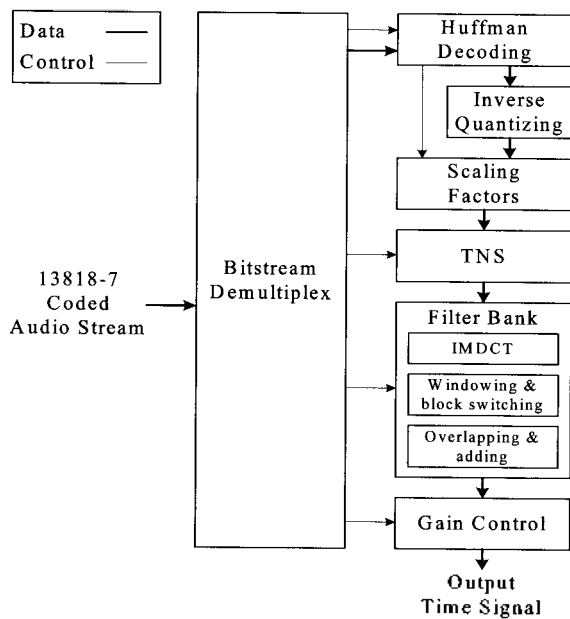


그림 1. AAC LC 프로파일의 디코딩 순서
Fig. 1. Decoding flow of AAC LC profile.

III. IMDCT 알고리즘 분석

3.1. 데이터 재정렬을 이용한 알고리즘

주파수 영역의 신호를 시간영역으로 변환하기 위한 IMDCT는 식 (1)과 같이 표시된다. [8]

$$x[n] = \sum_{k=0}^{N/2-1} X[k] \cos \left[\frac{2\pi}{N} (n+p) \left(k + \frac{1}{2} \right) \right], \quad 0 \leq n < N \quad (1)$$

여기서 $X[k]$ 는 spectral coefficient, n 는 샘플 인덱스, k 는 spectral 계수 인덱스, N 은 윈도우 길이, $p=(N/2+1)/2$ 을 나타낸다. 식 (1)의 결과인 시간 영역 샘플 $x[n]$ 은 대칭적인 특성이 있으므로 N -point의 $x[n]$ 을 구할 필요가 없이 $N/2$ -point의 $x[n]$ 만 구하여 결과를 재정렬하여 사용하면 되므로 연산량이 반으로 줄어들게 된다.

3.2. DCT를 적용한 알고리즘

DCT 방식의 대표적인 알고리즘인 Type-II 형태의 N -point DCT는 식 (2)와 같이 나타낼 수 있는데 이 식에서 $x[n]$ 과 $X[k]$ 이 어떤 성분을 나타내는 가에 따라 DCT 또는 IDCT가 결정된다.

$$x[n] = \sum_{k=0}^{N/2-1} X[k] \cos \left(\frac{\pi}{2N} (2k+1)n \right), \quad 0 \leq n < N \quad (2)$$

식 (2)을 변형하여 $x[n]$ 의 짝수성분 ($C[2n]$)과 홀수성분 ($D[2n+1]$)을 구하기 위하여 식 (3a)과 식 (3b)과 같이 정의한다.

$$C[n] = x[2n] \quad (3a)$$

$$D[n] = x[2n+1], \quad 0 \leq n < N/2 \quad (3b)$$

짝수성분은 식 (2)과 식 (3a)을 이용하여 식 (4)과 같이 나타낼 수 있다.

$$C[n] = \sum_{k=0}^{N/2-1} X[k] \cos \left(\frac{\pi}{2N} (2k+1) \times 2n \right) = \sum_{k=0}^{N/2-1} P[k] \cos \left(\frac{\pi}{2 \times (N/2)} (2k+1) n \right) \quad (4)$$

여기서 $P[k]=X[k]+X[N-1-k]$ 이다. 또한 $x[n]$ 의 홀수 성분을 이용하여 $D'[n]$ 을 식 (5)과 같이 정의한다. 식 (3b)과 식 (5)을 이용하여 $D'[n]$ 을 구하면 식 (6)과 같다.

$$D'[n] = D[n] + D[n-1] \tag{5}$$

$$D[n] = \sum_{k=0}^{N-1} X[k] \cos\left(\frac{\pi}{2N}(2k+1)(2n+1)\right) + \sum_{k=0}^{N-1} X[k] \cos\left(\frac{\pi}{2N}(2k+1)(2n-1)\right) = \sum_{k=0}^{N-1} 2Q[k] \cos\left(\frac{\pi}{2 \times (N/2)}(2k+1)n\right) \tag{6}$$

여기서

$$Q[k] = \sum_{k=0}^{N-1} 2\{X[k]-X[N-1-k]\} \cos\left(\frac{\pi}{2N}(2k+1)\right) \tag{7}$$

이다.

한편 $D(0) = D(-1)$ 으로 정의하면 식 (5)에 의하여 $D(0)=D'[0]/2$ 가 되고 IDCT $x[n]$ 의 홀수 성분 ($D[n]$)은 $D'[n] - D[n-1]$ 로 나타낼 수 있다. 홀수 성분의 경우 $D'[n]$ 과 $D[n-1]$ 을 recursive하게 사용하여 구할 수 있다. 따라서 N-point Type-II DCT는 2개의 N/2-point Type-II DCT를 이용하여 구현할 수 있다.

3.3. 2^n (N-point) type IMDCT 방식

2^n (N-point) type 방식은 식 (1)을 식 (8)과 같이 변형한 것이다. [6]

$$x[n] = \sum_{k=0}^{N-1} X[k] \times \cos\left(\frac{\pi}{2N}(2k+1)(2n+1 + \frac{N}{2})\right) = \sum_{k=0}^{N-1} X[2k] \times e^{j\frac{\pi}{2N}(4k+1)(2n+1)} + \sum_{k=0}^{N-1} X\left[\frac{N}{2}-2k-1\right] \times e^{j\frac{\pi}{2N}(4k+1)(2n+1)} = \left[\sum_{k=0}^{N-1} \left\{ -X[2k] + jX\left[\frac{N}{2}-2k-1\right] \right\} \times e^{j\frac{\pi}{2N}(4k+1)} \right] \times e^{j\frac{\pi}{2N}(2n+1)} \tag{8}$$

이 방식은 $X[k]$ 의 2개의 샘플 데이터를 이용하여 $-X[2k] + jX[N/2-2k-1]$ 형태의 복소수를 만든다. 여기서 k 가 odd이면 허수부로, even 이면 실수부를 구성하게 된다. 이렇게 만들어진 복소수를 pre-rotation 시킨 후 bit-reverse 시켜 N/4-point complex IFFT를 수행한다. 이렇게 계산된 결과를 post-rotation하여 N/4 개의 complex 데이터를 구하고 이 데이터를 이용하여 de-interleaving을 수행하면 시간영역의 N-point 데이터 $x[n]$ 을 얻을 수 있다. 2^n (N-point) type IMDCT 에서

N/4-point complex IFFT 과정이 전체 연산량의 70% 정도 차지하고 있다.

IV. 제안하는 고속 IMDCT 방식

4.1. 기본 개념

제안하는 방식은 2^n (N-point) type IMDCT의 N/4-point complex IFFT를 다른 형태로 수행하는데 그 수식은 먼저 식 (9)과 같이 짝수와 홀수 항으로 나눈 다음 다시 4의 배수 성분으로 분해 하여 식 (10)과 같이 재배열한다.

$$x[n] = \sum_{k=0}^{N-1} X[k]W_N^{nk}, \quad 0 \leq n < N = x[2n] + x[2n+1], \quad 0 \leq n < N/2 = x[4n] + x[4n+2] + x[4n+1] + x[4n+3], \quad 0 \leq n < N/4 \tag{9}$$

$$x[n] = \sum_{k=0}^{N/4-1} H_1[k] + H_2[k]W_N^{2k} + H_3[k]W_N^{4k} + H_4[k]W_N^{6k} x\left[n + \frac{N}{4}\right] = \sum_{k=0}^{N/4-1} H_1[k] + H_2[k]W_N^{2k} - H_3[k]W_N^{4k} - H_4[k]W_N^{6k} x\left[n + \frac{N}{2}\right] = \sum_{k=0}^{N/4-1} H_1[k] - H_2[k]W_N^{2k} + H_3[k]W_N^{4k} - H_4[k]W_N^{6k} x\left[n + \frac{3N}{4}\right] = \sum_{k=0}^{N/4-1} H_1[k] - H_2[k]W_N^{2k} - H_3[k]W_N^{4k} + H_4[k]W_N^{6k} \tag{10}$$

여기서

$$H_1[k] = \sum_{k=0}^{N/4-1} X[4k]W_{N/4}^{nk}, \quad H_2[k] = \sum_{k=0}^{N/4-1} X[4k+2]W_{N/4}^{nk} H_3[k] = \sum_{k=0}^{N/4-1} X[4k+1]W_{N/4}^{nk}, \quad H_4[k] = \sum_{k=0}^{N/4-1} X[4k+3]W_{N/4}^{nk} \tag{11}$$

이다.

제안하는 방식은 먼저 식 (11)과 같이 N/16-point의 $H_1[k], H_2[k], H_3[k], H_4[k]$ 를 먼저 구한 다음 IFFT EXPAND 구조를 이용하여 N/4-point의 $x[n]$ 을 구하게 된다. 또한 제안하는 방식은 식 (10), (11)과 같이 변형된 IFFT의 계산량을 줄이기 위하여 bit reverse 대신 표 1, 2와 같은 형태로 입력을 정렬한다. AAC 디코더에 필요한 complex 64, 512 포인터 IFFT의 경우 기본단위 IFFT가 각각 16, 32 포인터 이므로 표 1, 2와 같이 배열한다. 표 1, 2는 pre-rotation의 출력 (PR[])이 IFFT의 어떤 입력 (IP[])에 인가되는 가를 설명하고 있다.

표 1. 64-point IFFT 입력정렬 방식

Table 1. Input data arrangement for 64-point IFFT.

$m = 0, 1, 2, \dots, 14$	$m - 15$
$IF[16 \cdot 0 + m] - PR[4m+0]$	$IF[16 \cdot 0 + m] = PR[4m+0]$
$IF[16 \cdot 1 + m] = PR[4m+1]$	$IF[16 \cdot 1 + m] = PR[4m+1]$
$IF[16 \cdot 2 + m] - PR[4m+2]$	$IF[16 \cdot 2 + m] = PR[4m+2]$
$IF[16 \cdot 3 + m+1] - PR[4m+3]$	$IF[16 \cdot 2 + m+1] = PR[4m+3]$

표 2. 512-point IFFT 입력정렬 방식

Table 2. Input data arrangement for 512-point IFFT.

$m = 0, 1, 2, \dots, 30$	$m = 31$
$IF[32 \cdot 0 + m] - PR[16m+0]$	$IF[32 \cdot 0 + m] = PR[16m+0]$
$IF[32 \cdot 4 + m] - PR[16m+1]$	$IF[32 \cdot 4 + m] = PR[16m+1]$
$IF[32 \cdot 8 + m] = PR[16m+2]$	$IF[32 \cdot 8 + m] = PR[16m+2]$
$IF[32 \cdot 13 + m] - PR[16m+3]$	$IF[32 \cdot 13 + m] = PR[16m+3]$
$IF[32 \cdot 1 + m] - PR[16m+4]$	$IF[32 \cdot 1 + m] = PR[16m+4]$
$IF[32 \cdot 5 + m] = PR[16m+5]$	$IF[32 \cdot 5 + m] = PR[16m+5]$
$IF[32 \cdot 9 + m] - PR[16m+6]$	$IF[32 \cdot 9 + m] = PR[16m+6]$
$IF[32 \cdot 14 + m] = PR[16m+7]$	$IF[32 \cdot 14 + m] = PR[16m+7]$
$IF[32 \cdot 2 + m] = PR[16m+8]$	$IF[32 \cdot 2 + m] = PR[16m+8]$
$IF[32 \cdot 6 + m] - PR[16m+9]$	$IF[32 \cdot 6 + m] = PR[16m+9]$
$IF[32 \cdot 10 + m] = PR[16m+10]$	$IF[32 \cdot 10 + m] = PR[16m+10]$
$IF[32 \cdot 15 + m+1] = PR[16m+11]$	$IF[32 \cdot 14 + m+1] = PR[16m+11]$
$IF[32 \cdot 3 + m+1] - PR[16m+12]$	$IF[32 \cdot 2 + m+1] = PR[16m+12]$
$IF[32 \cdot 7 + m+1] - PR[16m+13]$	$IF[32 \cdot 6 + m+1] = PR[16m+13]$
$IF[32 \cdot 11 + m+1] = PR[16m+14]$	$IF[32 \cdot 10 + m+1] = PR[16m+14]$
$IF[32 \cdot 12 + m+1] - PR[16m+15]$	$IF[32 \cdot 11 + m+1] = PR[16m+15]$

새로운 방식으로 정렬된 데이터와 기본단위 IFFT (M-point 라 가정)를 구한 후, IFFT의 샘플 포인터 수를 $4 \times M$, $16 \times M$ point 형태로 확장해간다. 기본단위 IFFT는 $M=N/4^{n+1}$ 식으로 부터 구한다. 이 식에서 N은 IMDCT point 수, M은 16 또는 32인 정수이고, n은 데이터 포인터를 확장해야 할 stage 수를 나타낸다.

4.2. 고안된 방식의 구현

AAC 디코더의 2048-point IMDCT의 경우에는 32-point가 기본 단위 IFFT가 되며 그 입력은 표 2와 같이 정렬된 것을 사용한다. 고안한 입력 정렬방식에 맞는 32-point IFFT 수행 과정은 그림 2와 그림3과 같다. 그림 2, 3 및 본 논문에서 twiddle factor의 표시 방법은 $W_{n,m}$ 형식으로 표시하며 그 의미는 $W_{n,m} = \text{EXP}(j\pi m/n)$ 와

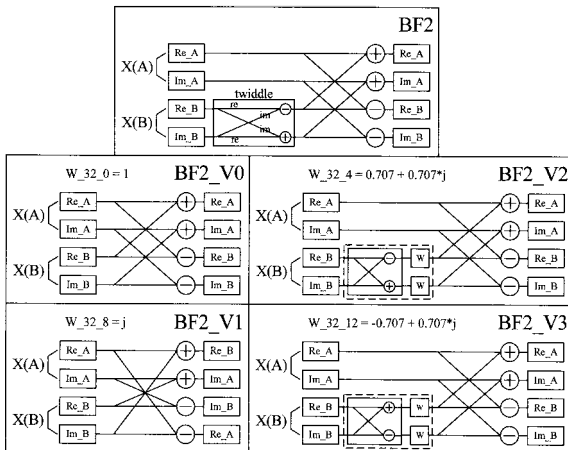


그림 2. IFFT_32 블록의 기능
Fig. 2. Functions of blocks used in IFFT 32.

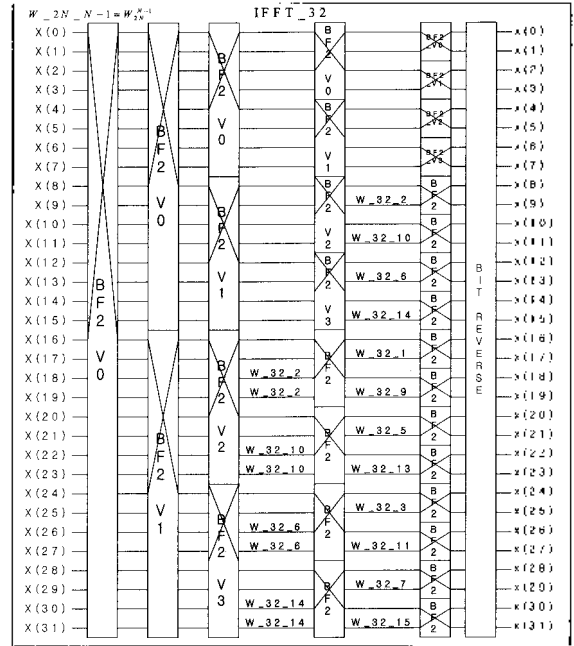


그림 3. IFFT 32 블록 구조
Fig. 3 Architecture of IFFT_32 block.

같다. IFFT의 데이터 포인터를 확장하는 EXPAND의 구조는 그림 4와 같으며, 2쌍의 동일한 데이터 포인터를 받아들이기 때문에 IFFT 포인트 수에 상관없이 N/16-point complex IFFT를 받아 N/4-point complex IFFT를 만들 수 있다.

IFFT EXPAND는 식 (11)을 이용하여 구한 N/16-point IFFT에 해당되는 $H_1[k], H_2[k], H_3[k], H_4[k]$ 에 식 (10)과 같이 적절한 twiddle factor와 곱셈, 덧셈 연산을 통하여 N/4 point IFFT를 수행한다.

AAC 디코더에 필요한 2,048 point IMDCT를 구현하기 위해서 필요한 512-point IFFT는 4개의 32-point IFFT (IFFT_32 블록)의 결과를 IFFT EXPAND를 거쳐 128-point IFFT를 만든 다음 다시 IFFT EXPAND를 거치면

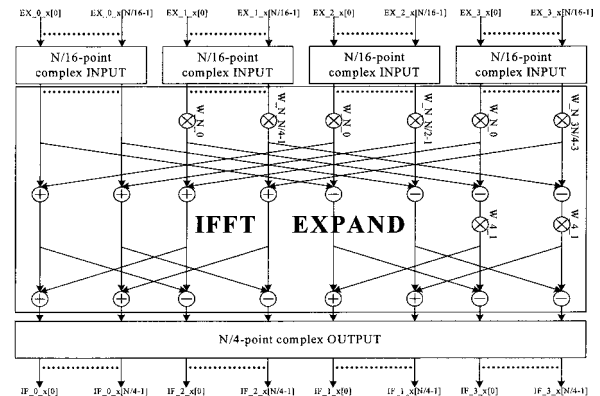


그림 4. IFFT EXPAND 블록 구조
Fig. 4 Architecture of IFFT EXPAND.

된다. 256-point IMDCT의 경우는 16-point IFFT를 기본 단위로 하여 1번의 IFFT EXPAND를 거치면 된다.

V. 비교 분석

여러 방식의 IMDCT 성능을 곱셈 횟수(N_M), 덧셈 횟수(N_A), twiddle factor를 저장하는 ROM 용량 (N_{ROM}), temporary data를 저장하는 RAM 용량 (N_{RAM}) 측면에서 비교한다. 3장에서 소개된 여러 방식의 성능을 비교해 보면 표 3과 같다.

표 3. 기존 방식의 특성(4)[6]

Table 3. Characteristics of conventional algorithm(4)[6].

항목	제정렬(4)	DCT(6)	$2^N(N\text{-point})$
N_M	$N^2/4$	$N/2 \cdot \log_2 N$	$N/2 \cdot \log_2 N/4 + 2N$
N_A	$N^2/4 - N/2$	$3N/4 \cdot (2 \cdot \log_2 N - 1)$	$3N/4 \cdot \log_2 N/4 + N$
N_{ROM}	$N^2/4$	$N/2 \cdot \log_2 N$	$N/4 \cdot \log_2 N/4 + N$
N_{RAM}	$N^2/4 + N$	$2 \cdot (3N/2 \cdot \log_2 N - N)$	$N \cdot \log_2 N/4 + 4N$

(주) N은 IMDCT data point 수 의미함

새로운 방식의 연산량을 2048-point IMDCT의 경우를 적용한 예를 들어 분석한다. IFFT_32블록은 그림 3과 같은 구조를 가지므로 곱셈 횟수는 $\{(32/2) \cdot \log_2(32) - [(16+8+4+2+1) + (8+4+2+1) + (4+2+1)]\} \cdot 4 \cdot 16 = 1,728$ 이다. 여기서 $(16+8+4+2+1) \cdot 4$, $(8+4+2+1) \cdot 4$, $(4+2+1) \cdot 2$, $(4+2+1) \cdot 2$ 은 각각 BF_V0, BF_V1, BF_V2, BF_V3을 사용함으로 해서 연산량이 감소되는 부분이다. 덧셈 횟수는 $\{(32/2) \cdot \log_2(32) \cdot 6 - [(16+8+4+2+1) + (8+4+2+1)] \cdot 2\} \cdot 16 = 6,208$ 이다. 여기서 $[(16+8+4+2+1) + (8+4+2+1)] \cdot 2$ 은 새로운 형태의 IFFT를 사용함으로 해서 연산량이 감소되는 부분이다.

IFFT EXPAND블록은 그림 4와 같은 구조를 가지는데 이 블록을 실행할 때 곱셈 횟수는 $(32 \cdot 4 + 128) \cdot 12 = 3,072$ 이고, 덧셈 횟수는 $(32 \cdot 4 + 128) \cdot 22 = 5,632$ 이다. IFFT_32 블록은 $2^N(N\text{-point})$ type IMDCT의 IFFT 보다 곱해야 할 twiddle factor 수가 작아 곱셈과 덧셈 연산을 각각 66.3%와 19.2%만큼 줄일 수 있다. IFFT EXPAND블록은 기존의 radix-2 방식의 IFFT에 비하여 곱셈과 덧셈 연산을 25%와 8.3%만큼 줄일 수 있다. 이는 $2^N(N\text{-point})$ type IMDCT 경우는 radix-2 포맷인 $N/4\text{-point}$ IFFT를 2-stage를 거치게 되어 $N \cdot 4 \cdot 4$ 만큼의 곱셈과 $N \cdot 6 \cdot 4$ 만큼의 덧셈 횟수를 필요로 하지만, IFFT

표 4. 제안하는 방식의 특성

Table 4. Characteristics of the proposed algorithm.

항목	pre/post rotation	IFFT	De-interleaving	Total
N_M	N	S1+S2		S1+S2+2N
N_A	N/2	P1+P2		P1+P2+N
N_{ROM}	N/2	(S1+S2)/2		(S1+S2)/2+N
N_{RAM}	N	$N \cdot \log_2 N/4$	2N	$N \cdot \log_2 N/4 + 4N$

EXPAND는 $N \cdot 12$ 만큼의 곱셈과 $N \cdot 22$ 의 덧셈만 필요로 하기 때문이다.

제안된 방식을 사용할 경우 RAM 용량은 $2,048 \cdot \log_2(256)$, ROM 용량은 $(1728 + 3,072)/2 = 2,400$ 이다. 256, 2048-point IMDCT의 연산량, RAM, ROM 용량을 일반화 하여 표 4에 나타내었다.

(주) S1, S2, P1, P2는 아래와 같다

$$S1 = \begin{cases} \frac{N}{2} \log_2(N/64) - \frac{7}{4}N + 192, & N = 2048 \\ \frac{N}{2} \log_2(N/16) - 25 \times 16, & N = 256 \end{cases} \quad S2 = \begin{cases} (N/8) \times 12 = 3N/2, & N = 2048 \\ (N/16) \times 12 = 3N/4, & N = 256 \end{cases}$$

$$P1 = \begin{cases} \frac{3N}{4} \log_2(N/64) - 92 \times 16, & N = 2048 \\ \frac{3N}{4} \log_2(N/16) - 44 \times 4, & N = 256 \end{cases} \quad P2 = \begin{cases} (N/8) \times 22 = 11N/4, & N = 2048 \\ (N/16) \times 22 = 11N/8, & N = 256 \end{cases}$$

표 3, 4에 의하면 2048-point IMDCT 경우 새로운 방식이 $2^N(N\text{-point})$ type IMDCT 방식보다 곱셈, 덧셈, ROM 용량을 각각 33.2%, 12.5%, 33.2%만큼 감소시킬 수 있다. 256-point인 경우는 곱셈, 덧셈, ROM에서 각각 36.3%, 14.8%, 36.3%만큼 줄일 수 있다.

새로운 IMDCT 방식을 이용하여 AAC 디코더를 구현하여 정상적으로 동작하는 것을 확인하였다. 24bit DSP를 이용하여 10초 분량의 AAC 데이터를 $2^N(N\text{-point})$ type과 제안하는 방식으로 IMDCT를 구현했을 때 1 프레임 당 평균 연산량을 표 5에 비교하였다.

표 5. 2048-point AAC 디코더 사이클 수 비교

Table 5. Comparison of calculation cycles for 2048-point AAC decoder.

Block	Proposed IMDCT	$2^N(N\text{-point})$ IMDCT
Huffman decoder	418,830	418,830
Inverse quantizer	100,410	100,410
Scale factors	24,378	24,378
Filter bank	423,572	470,580
Others	53,325	53,325
Total	1,020,515	1,067,523

(주) AAC 1 frame 평균 처리 사이클 수

AAC 디코더 전체적인 연산량 측면에서 보면 새로운 방식이 $2^N(N\text{-point})$ type IMDCT의 경우의 95.6%가 되었으며 필터 뱅크는 90.0%가 되었다. IMDCT와 IFFT에서 곱셈과 덧셈이 차지하는 비중이 data load와 store보다

상대적으로 낮아 덧셈이나 곱셈이 줄어드는 비율에 비하여 전체적인 연산량 개선효과가 작게 나왔다.

VI. 결론

본 논문에서 제안하는 방식은 기존방식에서 가장 효율적인 2^n (N-point) type IMDCT에서 사용되는 IFFT 과정을 개량한 것이다. 기존 IFFT에서 사용하는 bit-reverse와 $N/4$ -point complex IFFT 대신 새로운 데이터 정렬방식, $N/4^{n+1}$ -IFFT, IFFT EXPAND를 고안하여 twiddle factor와 곱셈, 덧셈, ROM 용량을 줄일 수 있었다.

새로운 방식을 이용하여 AAC 디코더에 필요한 256-point IMDCT를 구현했을 경우는 2^n (N-point) type IMDCT 방식보다 곱셈에서 36.3%, 덧셈에서 14.8%, ROM 용량에서 36.3% 만큼 감소시킬 수 있었다. 2048-point 경우에는 곱셈에서 33.2%, 덧셈에서 12.5%, ROM 용량에서 33.2% 만큼 감소시킬 수 있었다. 새로운 방식의 IMDCT를 채택함으로써 AAC 디코더의 전체 연산량에서 4.4% 개선이 있었다.

본 논문에서 제안하는 IFFT 입력 재정렬 방식과 $N/4^{n+1}$ -IFFT를 이용하여 N-point IFFT를 구현하는 방식은 AAC 디코더가 아닌 다른 분야에서도 응용 가능할 것으로 생각된다.

감사의 글

이 논문은 부산대학교 자유과제 학술연구비 (2년)에 의하여 연구되었음

참고 문헌

1. ISO/IEC IS 13818-7, "Information Technology - Generic Coding of Moving Pictures and Associated Audio, Part7: Advanced Audio Coding, AAC," 1997.
2. John Gordon, "Psychoacoustics.", in John Strawn, Curtis Abbott, John Gordon, and Philip Greespun, eds. The Computer Music Tutorial, The MIT Press, Cambridge, Massachusetts, 1053-1068, 1998
3. J. P. Princen and A. B. Bradley, "Analysis/Synthesis Filter Bank Design Based on Time Domain Aliasing Cancellation," IEEE Trans. on ASSP-34, (5) 1986, 1153-1161.
4. Mu-Huo Cheng and Yu-Hsin Hsu, "Fast IMDCT and MDCT

Algorithms A Matrix Approach", IEEE Trans. on Signal Processing 51 (1) Jan. 2003.

5. Che-Hong Chen, Bin-Da Liu, Jar-Ferr Yang, and Jiun-Lung Wang "Efficient Recursive Structures for Forward and Inverse Discrete Cosine Transform", IEEE Trans. on Signal Processing 52 (9) Sept. 2004.
6. Che-Hong Chen, Bin-Da Liu, and Jar-Ferr Yang, "Recursive Architectures for Realizing Modified Discrete Cosine Transform and Its Inverse", IEEE Trans. on Circuits and system-II: Analog and Digital Signal Processing, 50 (1) Jan. 2003
7. Do-Hee Kim "The research on configuration of Fixed-point MPEG-2 AAC Decoder with 24 bit DSP core", Pusan National University, Master Thesis, Feb. 2006.
8. Davis Yen Pan, "Digital Audio Compression", Digital Tech. Journal, 5 (2) 1993.

저자 약력

• 지 화 준 (Hua-Jun Chi)

2005년 2월 : 연변과학기술대학교 학사
2007년 2월 : 부산대학교 전자공학과 석사



• 김 태 훈 (Tae-Hoon Kim)

1995년 2월 : 연변과학기술대학교 학사
1997년 2월 : 부산대학교 전자공학과 석사
2002년 2월 : 부산대학교 전자공학과 박사



• 박 주 성 (Ju-Sung Park)

1976년 2월 : 부산대학교 전자공학과 학사
1978년 6월 : KAIST 전자공학과 석사
1978년~1985 : ETRI 실장
1989년 6월 : Univ. of Florida 전자공학 박사
1991년~현재 : 부산대학교 전자공학과 교수

